

**ОБ ОДНОМ МЕТОДЕ РЕШЕНИЯ УРАВНЕНИЯ БОЛЬЦМАНА
ПРИ СИЛЬНЫХ ОТКЛОНЕНИЯХ ОТ МАКСВЕЛЛОВСКОГО
РАСПРЕДЕЛЕНИЯ**

И. А. ЭНДЕР, А. Я. ЭНДЕР

(Ленинград)

Предлагается рассматривать функцию распределения как набор всевозможных максвелловских распределений с произвольными температурами и средними скоростями.

Основные результаты получены для случая, когда функция распределения зависит только от модуля скорости. В этом случае разложение ведется по максвелловским распределениям с разными температурами.

Одновременно с функцией распределения производится переразложение по выбранному базису и интеграла столкновений от двух максвелловских распределений. Эта часть задачи решается аналитически. В результате значительно упрощается вычисление интеграла столкновений и оказывается возможным подробное изучение температурной релаксации в газах.

Надежных методов решения кинетического уравнения Больцмана при сильных отклонениях от равновесия пока не существует. Основные методы решения — метод Энскога — Чепмена [1] и моментный метод Греда [2] — практически применимы только при достаточно малых отклонениях от максвелловского распределения.

В то же время исследование сильных отклонений становится все более важным, так как такие задачи, как структура ударной волны, изучение сильно неравновесных процессов вблизи границы и другие, не могут быть рассчитаны с помощью указанных выше методов.

В работе предлагается представлять функцию распределения $f(v, r, t)$ в виде интеграла от максвелловских распределений со всевозможными температурами и средними скоростями, причем каждое распределение берется с определенным весом, т. е.

$$f(v, r, t) = \int_{-\infty}^{\infty} \int_{-\infty}^{+\infty} M(\alpha, v, u) \varphi(\alpha, u, r, t) d\alpha du \quad (0.1)$$

$$M(\alpha, v, u) = (\alpha / \pi)^{3/2} e^{-\alpha(v-u)^2}, \quad \alpha = m / 2kT$$

Следует отметить, что такое представление требует обращения к обобщенным функциям, так как даже в случае, когда $f(v, r, t)$ — максвелловское распределение, $\varphi(\alpha, u)$ — δ -функция.

Метод состоит в том, что выводится уравнение для φ , предлагается способ решения полученного уравнения, по найденному φ при помощи (0.1) строится f .

Ниже этот метод детально рассмотрен на примере простой кинетической задачи.

Упрощения принятые в двух направлениях: задача предполагается пространственно однородной, а функция распределения в начальный момент — зависящей только от модуля скорости (будем называть такую функцию сферически симметричной).

Эти упрощения позволяют разлагать функцию распределения по максвелловским распределениям с произвольными температурами и с нулевыми средними скоростями.

1. Пусть газ пространственно однороден и функция распределения в начальный момент $t = t_0$ зависит только от модуля скорости. Представим ее при $t = t_0$ в следующем виде:

$$f(v, t_0) = \int_0^\infty M(\alpha, v) \varphi(\alpha, t_0) d\alpha \quad M(\alpha, v) = \left(\frac{\alpha}{\pi} \right)^{5/2} e^{-\alpha v^2} \quad \alpha = \frac{m}{2km} \quad (1.1)$$

Здесь $M(a, v)$ — максвелловское распределение с нулевой средней скоростью, $\varphi(a, t_0)$ — вес распределения с температурой $m/2ka$ при $t = t_0$. Введем обозначения $s = v^2$, $(a/\pi)^{3/2}\varphi(a, t_0) = \psi(a, t_0)$, тогда

$$f(s, t_0) = \int_0^\infty e^{-as} \psi(a, t_0) da \quad (1.2)$$

Это соотношение представляет собой преобразование Лапласа. Таким образом, множество сферически симметричных функций, для которых представление (1.1) имеет место, оказывается достаточно широким.

В рассматриваемом случае уравнение Больцмана имеет вид

$$\frac{\partial f}{\partial t} = nJ(f, f') \quad (1.3)$$

Здесь $J(f, f')$ — интегральный оператор столкновений. Пусть в какой-то момент времени t имеет место разложение

$$f(v, t) = \int_0^\infty M(a, v) \varphi(a, t) da \quad (1.4)$$

Подставим (1.4) в правую часть (1.3)

$$\frac{\partial f}{\partial t} = nJ \left(\int_0^\infty M(a_1, v) \varphi(a_1, t) da_1, \int_0^\infty M(a_2, v') \varphi(a_2, t) da_2 \right) \quad (1.5)$$

Меняя местами порядок интегрирования в (1.5), получаем

$$\frac{\partial f}{\partial t} = n \int_0^\infty \int_0^\infty \varphi(a_1, t) \varphi(a_2, t) J^M(a_1, a_2, v) da_1 da_2 \quad (1.6)$$

Здесь $J^M(a_1, a_2, v)$ интеграл столкновений, определяющий изменение числа частиц с функцией распределения $M(a_1, v)$ за счет их столкновений с частицами с функцией распределения $M(a_2, v)$.

Пусть существует отображение $J^M(a_1, a_2, v)$ в a -пространстве, т. е. имеет место равенство

$$J^M(a_1, a_2, v) = \int_0^\infty M(a, v) A(a, a_1, a_2) da \quad (1.7)$$

Здесь $A(a, a_1, a_2)$ — образ $J^M(a_1, a_2, v)$ в a -пространстве¹

Тогда интегральный оператор столкновений $J(f, f')$ обладает тем же свойством, т. е. разлагается по максвелловским распределениям.

Действительно, подставляя (1.7) в правую часть (1.6) и меняя порядок интегрирования, получаем

$$J(f, f') = \int_0^\infty M(a, v) B(a) da, \quad (1.8)$$

$$B(a) = \int_0^\infty \int_0^\infty \varphi(a_1, t) \varphi(a_2, t) A(a, a_1, a_2) da_1 da_2$$

¹ Ниже будет конкретно вычислено ядро $A(a, a_1, a_2)$ для модели упругих сфер. Аналогичные результаты можно получить и для ряда других типов межмолекулярных взаимодействий.

Отсюда следует, что и дифференциальный оператор в левой части уравнения Больцмана (1.3) можно представить в виде (1.8). Поэтому, двигаясь от рассматриваемого момента времени t бесконечно малыми шагами, будем иметь, что и в любой последующий момент времени функцию распределения можно представить в виде (1.1).

Используя (1.4) и (1.8), из уравнения (1.3) получаем

$$\int_0^\infty M(a, v) \left(\frac{\partial \varphi(a, t)}{\partial t} - nB(a) \right) da = 0 \quad (1.9)$$

По свойству преобразования Лапласа [3] из (1.9) следует, что

$$\partial \varphi(a, t) / \partial t - nB(a) = 0 \quad (1.10)$$

Окончательно уравнение Больцмана в a -пространстве имеет вид

$$\frac{\partial \varphi(a, t)}{\partial t} = n \int_0^\infty \int_0^\infty A(a, a_1, a_2) \varphi(a_1, t) \varphi(a_2, t) da_1 da_2 \quad (1.11)$$

Проводя аналогичные рассуждения для смеси газов, получим следующее отображение системы уравнений Больцмана в a -пространство:

$$\frac{\partial \varphi_i(a, t)}{\partial t} = \sum_j n_j \int_0^\infty \int_0^\infty A_{ij}(a, a_1, a_2) \varphi_i(a_1, t) \varphi_j(a_2, t) da_1 da_2$$

Таким образом, задача свелась к вычислению ядра и к разработке методов решения полученных уравнений.

Следует отметить, что если в смеси концентрация газа первого сорта мала по сравнению с концентрацией газа второго сорта и функция распределения газа второго сорта максвелловская (тепловая баня) $f_2(v) = M(a_2, v)$, то система (1.11) линеаризуется

$$\frac{\partial \varphi_1(a, t)}{\partial t} = n_2 \int_0^\infty A_{12}(a, a_1, a_2) \varphi_1(a_1) da_1, \quad \varphi_2(a) = \delta(a - a_2)$$

2. Как отмечалось выше, ядро $A(a, a_1, a_2)$ есть отображение интеграла столкновений от двух максвелловских распределений в a -пространство, или есть обратное преобразование Лапласа от интеграла столкновений от двух максвелловских распределений, т. е.

$$J^M(a_1, a_2, v) = \int_0^\infty M(a, v) A(a, a_1, a_2) da$$

или

$$\left(\frac{a}{\pi} \right)^{3/2} A(a, a_1, a_2) = \frac{1}{2\pi i} \int_{\sigma-i\infty}^{\sigma+i\infty} e^{as} J^M(a_1, a_2, v) ds \quad (s = v^2)$$

Перейдем к вычислению ядра в случае, когда частицы сталкиваются как упругие шары. С этой целью вычислим интеграл столкновений от двух максвелловских распределений с разными температурами и с нулевыми средними скоростями.

В работе [4] было показано, что если функции распределения зависят от модуля скорости, то интеграл столкновений частиц разного сорта можно

записать так:

$$nJ(f_1, f_2) = 2\pi n \int_0^\infty \int_0^\pi (K_+ - K_-) \sigma(g) g^3 \sin \theta_1 d\theta_1 dg,$$

$$K_+ = \frac{1}{4\pi} \int_0^\pi \int_0^{2\pi} \chi(\theta_1) f_1(v'') f_2(v''') \sin \theta_2 d\theta_2 d\varphi_2, \quad K_- = f_1(v) f_2(v')$$

Здесь θ_1 — угол между относительными скоростями частиц до и после столкновения. Если атомы представляют собой упругие сферы,

$$(\chi(\theta_1) = 1, \sigma = \text{const}) \quad K_+ = \frac{1}{2} \int_0^\pi f_1(v'') f_2(v''') \sin \theta_2 d\theta_2$$

и интеграл столкновений $nJ(f_1, f_2)$ принимает вид (для простоты предполагается $m_1 = m_2$)

$$nJ(f_1, f_2) = \operatorname{Re} l_+ - \operatorname{Re} l_- \quad (2.1)$$

$$\operatorname{Re} l_+ = \pi n \sigma \int_0^\infty \int_0^\pi \int_0^\pi f_1(v'') f_2(v''') g^3 \sin \theta_1 \sin \theta_2 d\theta_1 d\theta_2 dg \quad (2.2)$$

$$\operatorname{Re} l_- = 2\pi n \sigma \int_0^\infty \int_0^\pi f_1(v) f_2(v') g^3 \sin \theta_1 d\theta_1 dg$$

$$v''^2 = v_0^2 + \frac{1}{4}g^2 + v_0 g \cos \theta_2, \quad v_0^2 = v^2 + \frac{1}{4}g^2 + vg \cos \theta_1$$

$$v'''^2 = v_0^2 + \frac{1}{4}g^2 - v_0 g \cos \theta_2, \quad v'^2 = v^2 + g^2 + 2vg \cos \theta_1$$

Здесь v_0 — скорость центра масс сталкивающихся частиц, а g — их относительная скорость, σ — полное сечение рассеяния.

Если в уравнения (2.1) и (2.2) подставить в качестве функций распределения разнотемпературные максвелловские распределения, то $\operatorname{Re} l_-$ после ряда несложных преобразований запишется так:

$$\operatorname{Re} l_- = \left(\frac{\alpha_1 \alpha_2}{\pi^2} \right)^{3/2} \sigma e^{-\alpha_1 v^2} \pi^{3/2} \frac{n}{\alpha_2^2} \left\{ \frac{e^{-\alpha_2 v^2}}{\sqrt{\pi}} + \frac{\Phi(v\sqrt{\alpha_2})}{2v\sqrt{\alpha_2}} + v\sqrt{\alpha_2} \Phi(v\sqrt{\alpha_2}) \right\} \quad (2.3)$$

Здесь $\Phi(x)$ — интеграл вероятности. После интегрирования по θ_2 из (2.2) получаем

$$\operatorname{Re} l_+ = \frac{4\pi c}{(\alpha_1 - \alpha_2)v} \int_0^\infty \int_{|1/2g-v|}^{|1/2g+v|} \exp[-(a_1 + a_2)(\frac{1}{4}g^2 + v_0^2)] \times$$

$$\times \operatorname{sh}[(a_1 - a_2)gv_0] g dg dv_0$$

$$c = (\alpha_1 \alpha_2 \pi^{-2})^{3/2} n \sigma$$

Вместо переменной v_0 введем переменную $t = v_0 \pm g(a_1 - a_2)/2(a_1 + a_2)$. Тогда

$$\operatorname{Re} l_+ = [\psi(a_1, a_2) - \psi(a_2, a_1)] 4\pi c / (\alpha_1 - \alpha_2)v$$

$$\psi(a_1, a_2) = \frac{1}{2} \int_0^\infty \exp\left(\frac{-a_1 a_2 g^2}{a_1 + a_2}\right) \left(\int_a^{a+} \exp[-(a_1 + a_2)t^2] dt \right) g dg$$

$$a_\pm = a_2 g / (a_1 + a_2) \pm v$$

После интегрирования по частям получим

$$\begin{aligned}\psi(\alpha_1, \alpha_2) = & \frac{1}{4} \left[\frac{\alpha_1 + \alpha_2}{\alpha_1 \alpha_2} \int_{-v}^v e^{-(\alpha_1 + \alpha_2)t^2} dt + \right. \\ & \left. + \frac{1}{2\alpha_1} \int_0^\infty e^{-\alpha_1 v^2} (\exp[-\alpha_2(g+v)^2] - \exp[-\alpha_2(g-v)^2]) dg \right]\end{aligned}$$

Заменяя соответственно $\alpha_i(v \pm g)$ на x , где $i = 1, 2$, окончательно имеем

$$\operatorname{Re} l_+ = \left(\frac{\alpha_1 \alpha_2}{\pi^2} \right)^{3/2} \frac{n \sigma \pi^{3/2}}{\alpha_1 \alpha_2 (\alpha_1 - \alpha_2) v} [e^{-\alpha_2 v^2} \sqrt{\alpha_1} \Phi(v \sqrt{\alpha_1}) - e^{-\alpha_1 v^2} \sqrt{\alpha_2} \Phi(v \sqrt{\alpha_2})] \quad (2.4)$$

Итак

$$n J^M(\alpha_1, \alpha_2, v) = \operatorname{Re} l_+ - \operatorname{Re} l_-$$

где $\operatorname{Re} l_+$ и $\operatorname{Re} l_-$ определяются по формулам (2.3) и (2.4). Теперь перейдем к отысканию обратных преобразований Лапласа от $\operatorname{Re} l_+$ и $\operatorname{Re} l_-$. Для их обозначения используем фигурные скобки. Будем полагать $(a/\pi)^{3/2} \{\operatorname{Re} l_+\}$ и $(a/\pi)^{3/2} \{\operatorname{Re} l_-\}$ соответственно. Введем новую функцию $F_+(v, a)$

$$F_+(v, a) = \frac{D}{v} [e^{-\alpha_2 v^2} \sqrt{\alpha_1} \Phi(av \sqrt{\alpha_1}) - e^{-\alpha_1 v^2} \sqrt{\alpha_2} \Phi(av \sqrt{\alpha_2})], \quad D = \frac{c \pi^{3/2}}{\alpha_1 \alpha_2 (\alpha_1 - \alpha_2)} \quad (2.5)$$

Имеем $F_+(v, 1) = \operatorname{Re} l_+$, а $F_+(v, 0) = 0$. Очевидно, что

$$\operatorname{Re} l_+ = \int_0^1 \frac{dF_+(v, a)}{da} da \quad (2.6)$$

По формуле обращения преобразования Лапласа имеем

$$\left(\frac{a}{\pi} \right)^{3/2} \{\operatorname{Re} l_+\} = \frac{1}{2\pi i} \int_{\sigma-i\infty}^{\sigma+i\infty} e^{\alpha s} \operatorname{Re} l_+ ds \quad (s = v^2)$$

или, используя (2.6) и дифференцируя по a (2.5)

$$\begin{aligned}\left(\frac{a}{\pi} \right)^{3/2} \{\operatorname{Re} l_+\} = & \frac{D}{2\pi i} \int_0^1 \int_{\sigma-i\infty}^{\sigma+i\infty} e^{\alpha s} \frac{2}{\sqrt{\pi}} [\alpha_1 \exp[-(a_2 + a^2 \alpha_1)s] - \\ & - \alpha_2 \exp[-(a_1 + a^2 \alpha_2)s]] ds da\end{aligned}$$

Воспользуемся следующим определением δ -функции:

$$\delta(x) = \frac{1}{2\pi i} \int_{\sigma-i\infty}^{\sigma+i\infty} e^{xs} ds$$

Тогда

$$\left(\frac{a}{\pi} \right)^{3/2} \{\operatorname{Re} l_+\} = \frac{2D}{\sqrt{\pi}} \int_0^1 [\alpha_1 \delta(a - a_2 - a^2 \alpha_1) - \alpha_2 \delta(a - a_1 - a^2 \alpha_2)] da \quad (2.7)$$

После замены переменной интегрирования формула (2.7) примет вид

$$\left(\frac{a}{\pi}\right)^{\frac{3}{2}} \{Re l_+\} = \\ = \frac{D}{\sqrt{\pi}} \left[\sqrt{a_1} \int_0^{a_1} \frac{\delta(a - a_2 - x)}{\sqrt{x}} dx - \sqrt{a_2} \int_0^{a_2} \frac{\delta(a - a_1 - x)}{\sqrt{x}} dx \right]$$

и окончательно

$$\{Re l_+\} = \left(\frac{a_1 a_2}{\pi^2}\right)^{\frac{3}{2}} \frac{\sigma \pi^{5/2} n}{a_1 a_2 (a_1 - a_2)} \frac{U(a_1 + a_2 - a)}{a^{3/2}} \times \\ \times \left[\sqrt{a_1} \frac{U(a - a_2)}{\sqrt{a - a_2}} - \sqrt{a_2} \frac{U(a - a_1)}{\sqrt{a - a_1}} \right] \quad (2.8)$$

Проведя аналогичные рассуждения для $\{Re l_-\}$, получаем

$$\{Re l_-\} = \left(\frac{a_1 a_2}{\pi^2}\right)^{\frac{3}{2}} \frac{\sigma \pi^{5/2} n}{a_1^2 a_2^{3/2}} U(a_1 + a_2 - a) \times \\ \times \left[\frac{U(a - a_1)}{2\sqrt{a_2}\sqrt{a - a_1}} + \sqrt{a_2} \frac{d}{da} \frac{U(a - a_1)}{\sqrt{a - a_1}} \right] \quad (2.9)$$

Здесь $U(x)$ — функция скачка¹. Таким образом

$$nA(a, a_1, a_2) := \{Re l_+\} - \{Re l_-\}$$

Здесь $\{Re l_+\}$ и $\{Re l_-\}$ определяются по формулам (2.8), (2.9)

Отметим следующие четыре свойства ядра $A(a, a_1, a_2)$:

$$1) \quad A(a, a_1, a_2) = 0 \quad \text{при } a_1 = a_2$$

Это отражение того факта, что интеграл столкновений для двух максвелловских распределений с одинаковой температурой обращается в нуль;

$$2) \quad \int_0^\infty A(a, a_1, a_2) da = 0$$

Физически это эквивалентно сохранению числа частиц каждого сорта:

$$3) \quad \int_0^\infty \frac{1}{a} [A(a, a_1, a_2) + A(a, a_2, a_1)] da$$

это эквивалентно закону сохранения энергии;

$$4) \quad A(a, a_1, a_2) = 0 \quad \text{при } a < \min(a_1, a_2) \text{ и } a > a_1 + a_2.$$

Последнее свойство ядра, т. е. ограниченность области его определения, позволяет делать некоторые выводы об эволюции системы. При анализе функции распределения иногда существенным оказывается знание поведения функции распределения в области скоростей очень больших по сравнению с тепловой.

¹ В справедливости формул (2.8), (2.9) можно убедиться и непосредственной проверкой соотношения

$$Re l_\pm = \int_0^\infty M(a, v) \{Re l_\pm\} da$$

Еще раз отметим, что функции в a -пространстве следует рассматривать как обобщенные.

Из четвертого свойства ядра (заметим, что это свойство сохраняется и для других видов межмолекулярных взаимодействий) вытекает, что в ходе релаксации в разложении вообще никогда не появится максвелловское распределение с температурой выше, чем наивысшая из первоначальных, а поэтому для достаточно больших v можно провести следующую оценку:

$$f(v, t) = \int_0^\infty M(a, v) \varphi(a, t) da \leq M(a_0, v) \int_0^\infty \varphi(a, t) da = M(a_0, v),$$

$$\left(a_0 = \frac{m}{2kT_0} \right)$$

Здесь T_0 — максимальная из первоначальных температур. При проведении этой оценки использовано равенство

$$\int_0^\infty \varphi(a) da = 1$$

3. Запишем уравнение Больцмана в a -пространстве в безразмерном виде

$$\frac{\partial \varphi'(x, t)}{\partial t} = \int_0^\infty \int_0^\infty A'(x, x_1, x_2) \varphi'(x_1, t) \varphi'(x_2, t) dx_1 dx_2 \quad (3.1)$$

$$A'(x, x_1, x_2) = \{\text{Re } l_+'\} - \{\text{Re } l_-'\}$$

$$x = \frac{a}{a_0}, \quad x_1 = \frac{a_1}{a_0}, \quad x_2 = \frac{a_2}{a_0}, \quad \varphi' = a_0 \varphi, \quad t' = \frac{nct}{a_0^{1/2}}, \quad a_0 = \frac{m}{2kT_0}$$

Здесь T_0 — максимальная из начальных температур.

Для упругих шаров

$$\{\text{Re } l_+'\} = \left(\frac{x_1 x_2}{\pi^2} \right)^{3/2} \pi^{5/2} \frac{U(x_1 + x_2 - x)}{x_1 x_2 (x_1 - x_2) x^{3/2}} \left[\frac{\sqrt{x_1} U(x - x_2)}{\sqrt{x - x_2}} - \frac{\sqrt{x_2} U(x - x_1)}{\sqrt{x - x_1}} \right] \quad (3.2)$$

$$\begin{aligned} \{\text{Re } l_-'\} &= \left(\frac{x_1 x_2}{\pi^2} \right)^{3/2} \pi^{5/2} \frac{U(x_1 + x_2 - x)}{x_2^2 x^{3/2}} \times \\ &\times \left[\frac{U(x - x_1)}{2 \sqrt{x_2} \sqrt{x - x_1}} + \sqrt{x_2} \frac{d}{dx} \frac{U(x - x_1)}{\sqrt{x - x_1}} \right] \end{aligned} \quad (3.3)$$

В дальнейшем штрих у безразмерных величин будем опускать.

При численном решении задачи функцию распределения в a -пространстве представим в виде

$$\varphi = \sum_k a_k \delta(x - x_k^*) \quad \left(x_k^* = \frac{a_k^*}{a_0}, \quad a_k^* = \frac{m}{2kT_k^*} \right) \quad (3.4)$$

Здесь x_k, x_{k+1} — точки дробления оси x ($x_k < x_k^* < x_{k+1}$).

При таком представлении непрерывная функция распределения в интервале (x_k, x_{k+1}) заменяется δ -функцией с некоторым средним значением температуры T_k^* . Точки деления x_k удобно выбирать так, чтобы $T_{k+1} - T_{k+2} = T_k - T_{k+1} = \dots = \text{const}$. Средняя температура

$$T_k^* = T_k - H, \quad T_k > T_k - H > T_{k+1}$$

Параметр H так же, как и число точек дробления, подбирается в процессе счета. Коэффициенты a_k определяются как следующие интегралы:

$$a_k = \int_{x_k}^{x_{k+1}} \varphi(x) dx$$

Проинтегрируем уравнение (3.1) по интервалу (x_k, x_{k+1})

$$\frac{da_k}{dt} = \int_{x_k}^{x_{k+1}} \int_0^\infty \int_0^\infty A(x, x_1, x_2) \varphi(x_1, t) \varphi(x_2, t) dx_1 dx_2 dt \quad (3.5)$$

В правую часть (3.5) подставим $\varphi(x)$ в виде (3.4). Тогда вместо одного интегро-дифференциального уравнения (3.1) получим конечную систему обыкновенных дифференциальных уравнений для $a_k(t)$

$$\frac{da_k}{dt} = \sum_{l,p} A_{k,l,p} a_l(t) a_p(t) \quad (3.6)$$

где

$$A_{k,l,p} = \int_{x_k}^{x_{k+1}} [\{\operatorname{Re} l_+(x, x_l^*, x_p^*)\} - \{\operatorname{Re} l_-(x, x_l^*, x_p^*)\}] dx$$

Для модели «упругих шариков» ядро (3.2), (3.3) заменяется следующей матрицей:

$$\begin{aligned} A_{k,l,p} &= A_{k,l,p}^+ - A_{k,l,p}^- \\ A_{k,l,p}^+ &= \int_{x_k}^{x_{k+1}} \{\operatorname{Re} l_+(x, x_l^*, x_p^*)\} dx = \frac{2}{\sqrt{\pi} (x_p^* x_l^*)^{1/2}} \left[\frac{U(x_p^* + x_l^* - x)}{x_l^* - x_p^*} \times \right. \\ &\quad \times (U(x - x_p^*) x_l^{3/2} \sqrt{1 - x_p^*/x} - U(x - x_l^*) x_p^{3/2} \sqrt{1 - x_l^*/x}) \Big|_{x_k}^{x_{k+1}} + \\ &\quad \left. + \sqrt{x_p^* + x_l^*} U(x_{k+1} - x_p^* - x_l^*) U(x_p^* + x_l^* - x_k) \right] \\ A_{k,l,p}^- &= \int_{x_k}^{x_{k+1}} \{\operatorname{Re} l_-(x, x_l^*, x_p^*)\} dx = \frac{1}{\sqrt{\pi} x_p^* x_l^*} \left[U(x^* + x_l^* - x) \times \right. \\ &\quad \times U(x - x_l^*) \left(\frac{x_l^*}{\sqrt{x_p^*}} \sqrt{1 - x_l^*/x} + \sqrt{x_p^*} \frac{2x - x_l^*}{x \sqrt{1 - x_l^*/x}} \right) \Big|_{x_k}^{x_{k+1}} + \\ &\quad \left. + 2\sqrt{x_p^* + x_l^*} U(x_{k+1} - x_p^* - x_l^*) U(x_p^* + x_l^* - x_k) \right] \end{aligned}$$

Значения x_p^* и x_l^* выбираются несовпадающими с точками деления x_k . То обстоятельство, что функция распределения $\varphi(a)$ благодаря представлению (3.4) оказалась сосредоточенной в некоторых точках выбранных температурных интервалов, позволяет перейти в представлении $f(v)$ от интеграла к конечной сумме

$$f(v) = \sum_k a_k M(a_k, v)$$

Такая замена не приводит к существенным погрешностям, поскольку физические процессы обладают следующими очевидными свойствами:

1) релаксация внутри температурного интервала (T_{k+1}, T_k) мала по сравнению с релаксацией между интервалами. Математически это выражается в том, что $\lim A(x, x_1, x_1 + \Delta x) = 0$ при $\Delta x \rightarrow 0$;

2) интеграл столкновений от двух максвелловских распределений с температурами T_k и T_i мало отличается от интеграла столкновений от двух максвелловских распределений с температурами T_{k+1} и T_i , если $|T_{k+1} - T_k| / |T_k - T_i| \ll 1$

Теперь перейдем к решению следующей задачи¹. Пусть в начальный момент функция распределения имеет вид

$$\varphi(x, 0) = c_1 \delta(x - x_1) + c_2 \delta(x - x_2) \quad (c_1 + c_2 = 1)$$

Будем следить за ее изменением во времени. Все значения температур отнесем к наибольшей из первоначальных. Тогда по свойству ядра функция распределения $\varphi(T)$ не равна нулю только в промежутке $0 < T \leq 1$. Этот промежуток разделим на N равных частей так, что

$$T_k = 1 - \frac{k}{N}, \quad T_i = 1 - \frac{l + H_i}{N}, \quad T_p = 1 - \frac{p + H_i}{N} \quad (0 < H_i < 1)$$

По методу Эйлера из (3.6) имеем

$$a_k(t + \Delta t) = a_k(t) + \sum_{l,p} A_{k,l,p} a_l(t) a_p(t) \Delta t$$

В начальный момент

$$a_k(0) = c_1 \delta_{k,0} + c_2 \delta_{k,b} \quad (T_0 = 1, T_b = 1 - b/N)$$

Здесь T_0 и T_b — начальные температуры. При $t \rightarrow \infty$ в газе должна устанавливаться температура $\langle T \rangle = c_1 T_0 + c_2 T_b$. Из закона сохранения энергии следует, что в любой момент времени

$$\int_0^{\infty} \frac{\varphi(x)}{x} dx = \langle T \rangle$$

Величина H_i подбирается таким образом, чтобы на каждом шаге по времени приближенное равенство

$$\sum_k a_k(t) T_k \approx \langle T \rangle$$

было выполнено с достаточной степенью точности. Кроме того, введем дисперсию D по формуле

$$D = \left(\sum_k (T_k - \langle T \rangle)^2 a_k \right)^{1/2}$$

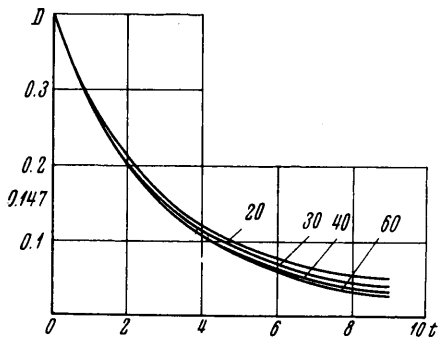
Убывание дисперсии должно показывать скорость эволюции системы к равновесию. За время релаксации τ примем время, в течение которого величина дисперсии D уменьшилась в e раз.

Счет проводился на БЭСМ-4. Постоянные c_1 и c_2 выбирались равными, т. е. $c_1 = c_2 = 0.5$. Начальное отношение температур $T_0 / T_b = 5$. Для данного конкретного случая $\langle T \rangle = 0.6$, начальная дисперсия $D_0 = 0.4$, H_1

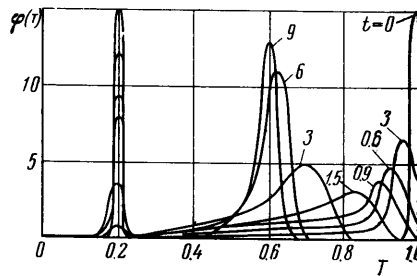
¹ Аналогичная задача при прямом интегрировании уравнения Больцмана решалась численно в работе [5].

изменялась от 0.695 до 0.7. При этом на каждом шаге по времени $\langle T \rangle$ с точностью до четвертого знака совпадала с 0.6. Число точек дробления по температуре варьировалось от $N = 10$ до $N = 60$. Шаг по времени h варьировался от 0.1 до 0.5.

На фиг. 1 приведена зависимость дисперсии D от времени при $N = 20, 30, 40$ и 60 . Время релаксации оказалось равным $\tau = 3.2$.



Фиг. 1



Фиг. 2

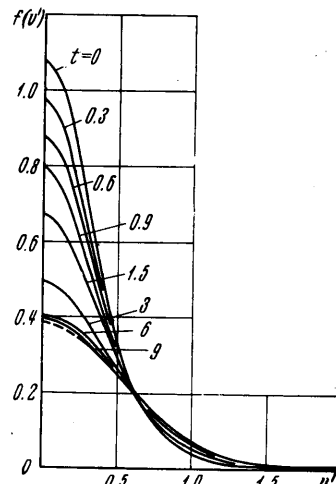
На фиг. 2 изображена функция распределения $\varphi(T)$ при $N = 30$. Разные кривые соответствуют разным моментам времени. В начальный момент вся функция распределения была сосредоточена в двух точках $T = 0.2$ и $T = 1$. Затем наблюдается на каждом последующем шаге уменьшение пика в точке $T = 0.2$ и отход максимума от единицы. Примерно за три столкновения максимум в точке $T = 0.2$ исчезает, а экстремальная точка справа подходит к точке $\langle T \rangle$.

Таким образом, можно представить себе следующую картину релаксации: холодные частицы либо еще не успели столкнуться, либо сразу приобретают самую горячую для данного момента времени температуру, а горячие частицы релаксируют с максвелловской функцией распределения, температура которой уменьшается до $\langle T \rangle$. Это представление носит приближенный характер.

Начиная примерно с 15-го шага по времени, кривая $\varphi(T)$ имеет уже настолько узкий максимум, что для изучения дальнейшей релаксации нужно промежуток, где $\varphi(T)$ отлична от нуля, дробить значительно мельче.

На фиг. 3 изображена функция распределения $f'(v')$ в разные моменты времени

$$v' = \sqrt{a_0} v, \quad f'(v') = f(v) / a_0^{3/2}$$



Фиг. 3

Пунктирная кривая — равновесная функция распределения.

Здесь следует отметить, что $f(v)$ становится практически нечувствительной к дальнейшему дроблению уже при $N = 20$. Говоря точнее, значения $f(v)$ в соответствующих точках при $N = 20$ и $N = 30$ отличаются одно от другого только в третьей — четвертой значащих цифрах. После численного исследования можно сказать, что для построения $f(v, t)$ на одном

шаге по времени с точностью до третьей — четвертой значащих цифр требуется примерно 20 сек на БЭСМ-4, и для изучения полной эволюции системы — 10 мин. Указанная точность при минимальных затратах времени выгодно отличает предлагаемый метод от других численных методов решения уравнения Больцмана. Это связано с тем, что значительная часть расчета (вычисление ядра) проводится аналитически, и поэтому счет столкновительного члена значительно упрощается.

В заключение отметим, что то или иное представление функции распределения как набора максвелловских распределений известно в литературе [6, 7]. Однако в наиболее общем виде [7] такое разложение осуществлялось по конечному числу максвелловских распределений с неопределенными весами, температурами и средними скоростями. Для определения этих параметров выписывалось соответствующее число моментных уравнений. При этом задача оказывается не унифицированной, и подключение новых моментных уравнений связано с дополнительными достаточно громоздкими вычислениями. В рамках такого метода довольно трудным является вопрос об исследовании точности полученного решения. В данной работе рассматривается существенно иной подход: наряду с функцией распределения по максвелловским распределениям разлагается интеграл столкновений.

Аналогичное переразложение интеграла столкновений принципиально можно осуществить и в более общей задаче, когда функция распределения разлагается по максвелловским распределениям с произвольными не только температурами, но и средними скоростями.

Авторы благодарят С. В. Валландера и А. З. Долгинова за обсуждение работы.

Поступило 20 X 1969

ЛИТЕРАТУРА

1. Чепмен С., Каулинг Г. Математическая теория неоднородных газов. М., Изд-во иностр. лит., 1960.
2. Grad H. Note on N-dimensional hermite polynomials. Communs Pure and Appl. Math., 1949, vol. 2, No. 4.
3. Лаврентьев М. А., Шабат Б. В. Методы теории функций комплексного переменного. М., «Наука», 1965.
4. Эйдер А. Я. Свойства симметрии и больцмановское распределение. Вестн. ЛГУ, 1966, вып. 4, № 19.
5. Рыков В. А. Релаксация газа, описываемого кинетическим уравнением Больцмана. ПММ, 1967, т. 31, вып. 4.
6. Mott-Smith H. The solution of the Boltzmann equation for a shock wave. Phys. Rev., 1951, vol. 82, No. 6.
7. Weitzsch F. A new method for the treatment of gas dynamics problems for cases of large deviation from the thermodynamical equilibrium (in German). Ann. Physik, 1961, Bd 7, Nr 7/8, S. 403—417.